

## N-6 改良E型弾性補結装置に関する2・3の静的試験について

慶應大学工学部 正員 見沢繁光  
芙蓉調査設計事務所 正員 ○向井唯昭  
小林剛

### 1 まえがき

現在 使用されつつあるコンクリート枕木についてコンクリートの弾性不足を補い、かつ練結力やふく延性抵抗力が大であり、耐久性に富み、保守点検も容易である種々の補結装置が考案され使用されてきている。このような現状にあって今回藤原鐵工K.K.において考案試作された改良型E型レール弾性補結装置についていくつかの性能試験を行ったのでその概要を報告する。なお、先年同社で考案試作されたE型バネは実用の結果、回転させられ、レール押え開放部がはずれてしまつて欠陥が生じたので今回このことを考慮して前記の部分を閉じた形の改良E型バネが考案された。両者の相異は、図-1の如くである。

### 2. 供試体

本補結装置の主要部をなすバネは径16mmのS40C鋼を加工したもので、その断面形状は図-1の通りである。S40C鋼の引張強さは約70kg/mm<sup>2</sup>である。また試作本数は10本である。

### 3. 試作装置ならびに試験方法

各試験はタイアプレート上にタイアパッドを置きその上にレールをさせ、改良E型バネでレールと枕木をタイアプレート固定用の穴を利用して固定し、夫々の試験目的に応じてそれらの位置を変えて用いた。また各試験目的に沿う推力は垂直荷重による正、頭部たわみおよびトルクレンチ締結による同測定を除き油圧ジャッキを用いた。まず油圧ジャッキを既定の位置にセットしてその上にProving Ringをつけその中のダイヤルゲージの読みによって一定の荷重を載荷していった。

#### (1) 正、頭部たわみ測定

a. トルクレンチ締結→正測定は図-1のバネの各側方に抵抗線並ゲージ-軸、三軸を貼付し使用した。測定はトルクレンチにより0→2000→0kg·cmと締結力を載除し、正および頭部たわみ量の推移を測定した。

b. 垂直荷重→図-2のようはバネ締結ボルトにはめあわせの載荷装置を作製し、荷重を除載荷しないと正確な測定を行なった。

#### (2) バネ底部たわみ測定

図-3のようは装置全体を倒立せしめ枕木両端を支持しレール裏面からタイアパッドがぬきとれまで載荷し、載荷過程におけるバネ後端レール受け押え部を原点としたバネ底部のたわみを測定した。

#### (3) 締結ならびにバネたわみ曲线

バネ底部たわみ測定と同じ様に図-3に示す試験を行なった。その試験手順は最初バネに推力を加えタイアパッドがぬきとれまで載荷し、しかる後徐々に除荷していく。その際のバネ底部のたわみと局部中央の正を測定した。

#### (4) 小括り

図-1

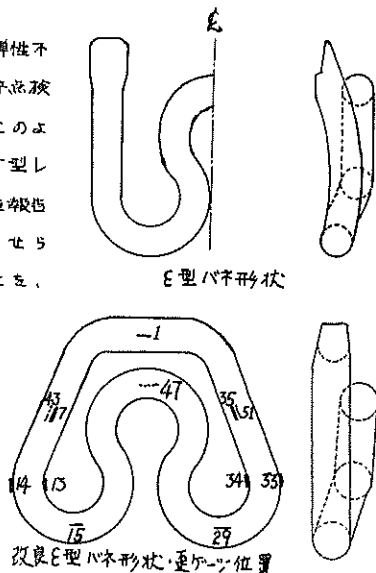


図-2

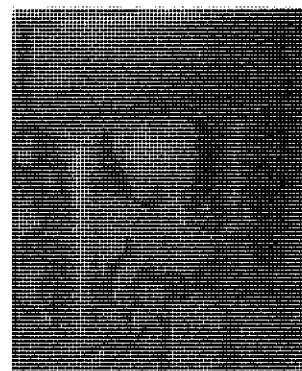


図-4のようにレール頭部に複数回から圧力を加えレールが明らかにすべり始めたと思われる時点を除いて、その際のレールの横変位およびレールの垂直変位、バネ頭部中央部を測定した。

#### (5) 小く並抵抗

図-4に示す如くレール中央部に圧力をかけレール底部が上れ以上すべり始める所で圧力を除してゆきレール底部および頭部の水平変動量を測定した。

### 4. 試験結果ならびに考察

#### (1) 圧力およびたわみ

a.トルクレンチ補綴 → 図-6は並測定の結果を圧力に換算したものである。それによるとバネ頭部中央回転半径(7,35)バネ底面バネ受け押え部両端回転半径(15,34)に大きい圧力の発達されていることがわかった。また同回より最大圧力はバネ底面バネ受け押え部の回転半径(7,35)から(15,29)の間に生じていらむものと思われる。各部圧力は同回よりわかちように補綴トルクの増加と共にほぼ直線的に増加していくことがわかる。

b.垂直荷重 — 並測定と灰を撒布した結果は図-7である。

#### □ トルクレンチ補綴、垂直荷重による変力比較

バネ頭部先端中央と回転半径(19,20)(20,27)の部分を除いて他の部分はすべてトルクレンチ補綴によつて相対的に大きな変力が発生している。

#### (2) バネの垂直変形率

測定の結果、頭部では4.9%、底面では図-8の通りであった。又バネ底面として±5%以下であった。

#### (3) 補綴ならびにバネたわみ曲線

測定の結果は図-9の通りでも補綴トルクにおける補綴力は同回記入の通りであった。又同回で大々の差のカーブの傾向より補綴トルクも-0.0mにおいてだけタイパッドからレール表面と枕木との間から離脱した際はあもレールを補綴し得る力をバネが保持していきことを示しておき、この場合の補綴力は約100kgであった。

#### (4) 小走り

各補綴トルクにおける走りもに対するレールの横変位量は、表-1の通りであった。

#### (5) 小く並抵抗

図-10より各補綴トルクにおけるレール保持力は表-2の通りであった。

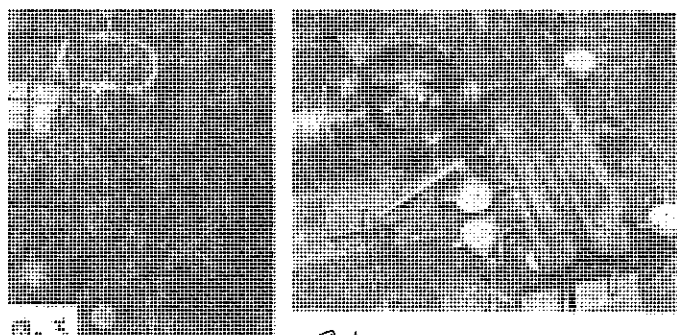


図-4

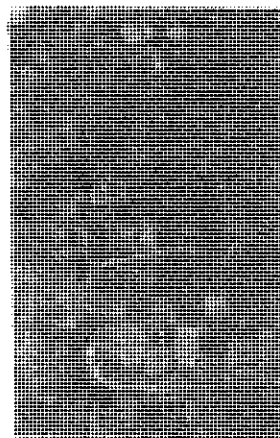


図-5

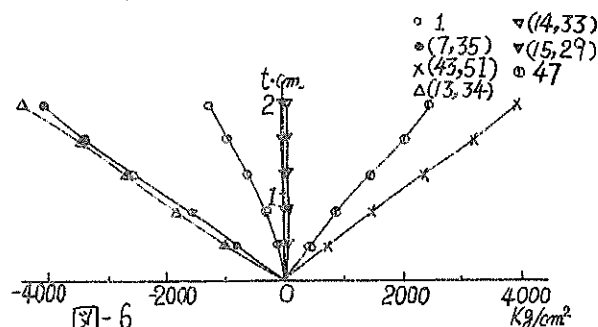


図-6

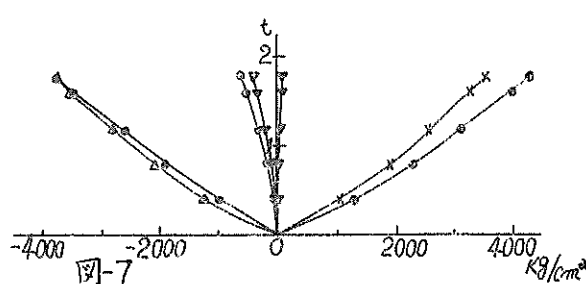
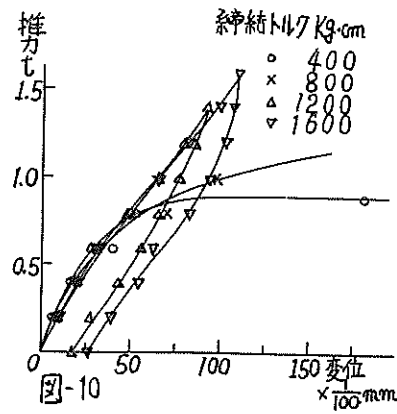
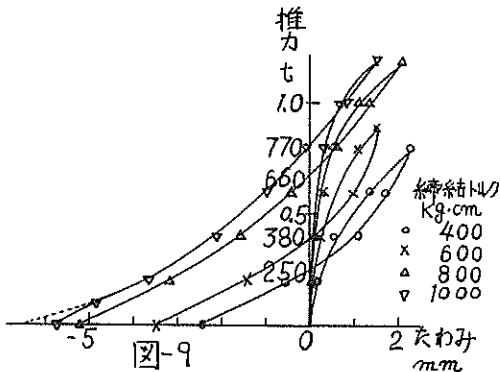
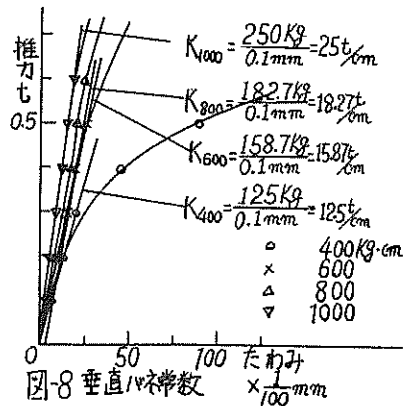


図-7



また矢々の荷重トックにあけらかく推抵抗度は同図より  
1.5%<sub>m</sub> (1荷重) であった。

### 5. 検討

以上の試験結果より国鉄102型バネとE型バネ、改良E型バネとの静的試験内の性能比較は表-3の通りであつ。この表からもわかつように改良E型バネは他の2つのバネに比べてレールを拘束させ固定させる単位荷重トルクあたりの性能には優れたものを持っていますことがわかった。それに保守点検の容易さも形状、取り扱い方からみて十分うかがい得る。また、荷重トックは以上の試験結果より、800 kg·cm以上1200 kg·cm以下が望ましいと思われる。しかしながら曲げ変形に対してはその形状からして局部的に弱いことがわかつられ、大きい修正のしかたと予想される地盤などの使用においてはこのバネに何らかの補助装置を用いる必要性があつ。

### 6. あと書き

本試験においては、静的試験のみについて行なつたのであるが、今後動的振動試験を行なうこと、またこのバネの理論的な応力解析、曲げに対する局部的な弱さに対する解決等が今後残された課題である。

表-1

締結トルク kg·cm	レール頭部移動量 mm/t	レール底部移動量 mm/t
400	3.8	0.93
800	2.0	0.71
1200	1.5	0.45
1600	1.2	0.59

表-2

締結トルク kg·cm	レール保持力 (荷重)
400	800 kg
800	1300
1200	1500以上
1600	1500以上
2000	1500以上

表-3

比較	バネ種類	改良E型	E型	国鉄102型
レール締結力	0.77t(1t·cm)	1.77t(4t·cm)	>0.5t	
垂直ばね常数	3.5t/cm以下	6.25t/cm	0.4t/cm	
小底り	1.5t/mm	1.35t/mm	70.9t	
頭部	4t·cm/1締結	4t·cm/1締結	1.5t·cm/1締結	
底部	1.36mm/t	3.2mm/t	2~3mm	
	0.46mm/t	0.5mm/t	0.75~1.5mm	
	1.2t·cm	4t·cm	1.5t·cm	